

# Flujo Compresible. Estudio de una tobera

---

Métodos numéricos. Dinámica de gases y transferencia de calor y masa

Boyan Naydenov  
27/06/2016



UNIVERSITAT POLITÈCNICA DE CATALUNYA  
BARCELONATECH

---

Escola Tècnica Superior d'Enginyeries  
Industrial i Aeronàutica de Terrassa

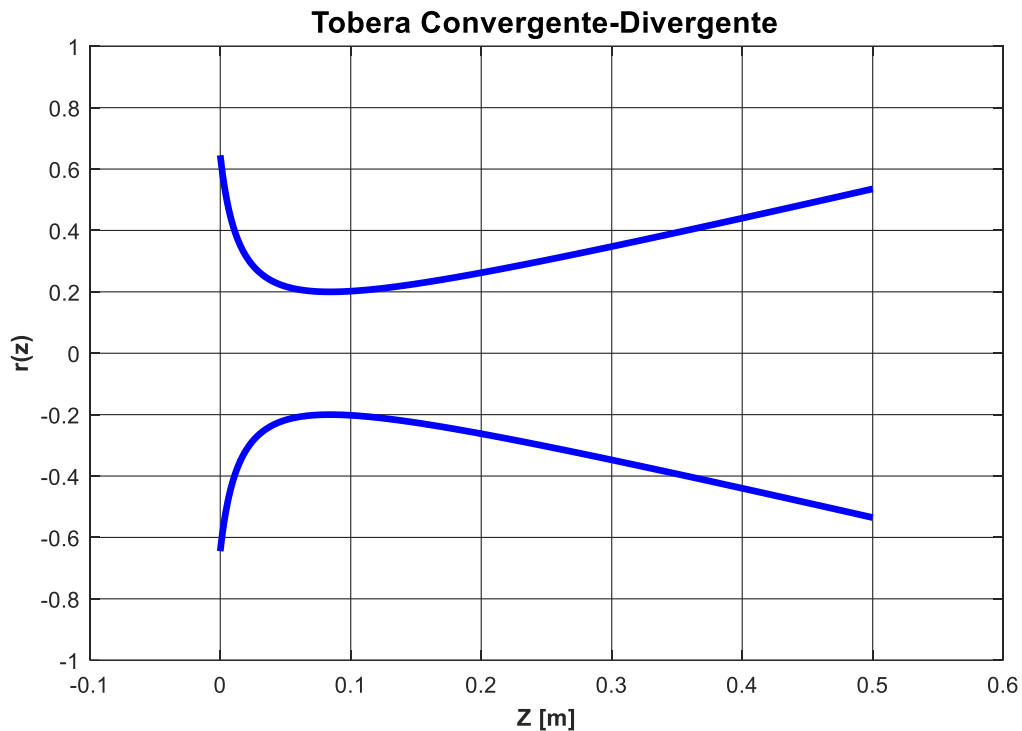
## Índice

1.	Descripción del caso.....	2
2.	Estudios de verificación.....	4
3.	Resultados del estudio numérico.....	8
3.1.	Estudio de convergencia .....	8
3.2.	Factores de relajación .....	8
4.	Resultados del estudio físico .....	9
4.1.	Análisis de los resultados obtenidos .....	9
4.2.	Influencia del material.....	14
5.	Anexo.....	15
5.1	Código utilizado.....	15
	Complet.m.....	15
	Entrada de datos. ....	15
	Obtención de Datos a diferentes M de entrada .....	15
	Tratamiento de Datos .....	16
	Compresible.m .....	16
	Matrices de datos (caso 1D).....	16
	Caso inicial.....	16
	Comienzan las iteraciones.....	16
	T* .....	17
	Cálculo de coeficientes que resuelven ecuaciones N-S .....	18
	Únicamente se prosigue si discriminante es positivo .....	18
	Tref.m .....	20
	Proceso iterativo para el cálculo de Tref.....	20
	checkSgen.m .....	21
	alpha.m.....	22
	graficas.m .....	22
5.2	Comportamiento Analítico Esperado y Criterio de Summerfield .....	24

## 1. Descripción del caso

En el presente estudio se busca evaluar la distribución media y por lo tanto, unidimensional, de la velocidad, presión, temperatura, número de Mach, entropías y otros, de una tobera convergente-divergente, similar a la utilizada por los cohetes espaciales.

Se muestra a continuación una representación de la geometría del problema. Nótese que dicha geometría se verá sometida a variaciones posteriormente.



$$R = \frac{1}{100z + 1.5} + z + 0.015$$

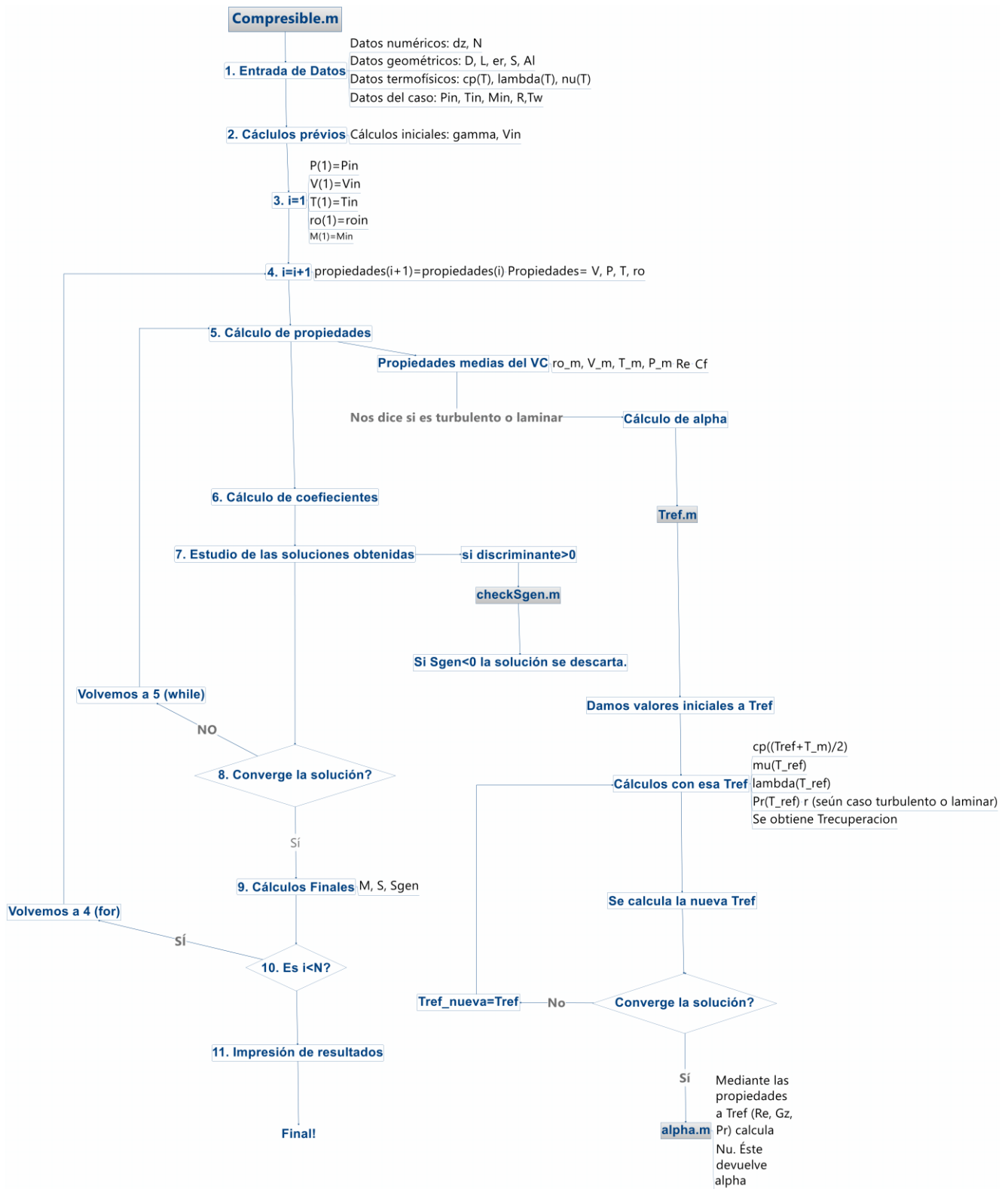
Para la resolución del problema se ha seguido un esquema numérico, discretizando la tobera, que presenta una simetría de revolución, en N volúmenes de control.

En la resolución se tendrá en cuenta el calor de convección así como la existencia de flujo compresible debido a las altas velocidades ( $M > 1$ ).

El algoritmo se detalla en el siguiente organigrama<sup>1</sup>:

---

<sup>1</sup> Nótese que se utilizan los mismos nombres de las variables y de los archivos que los del código adjunto para una mejor comprensión de este.

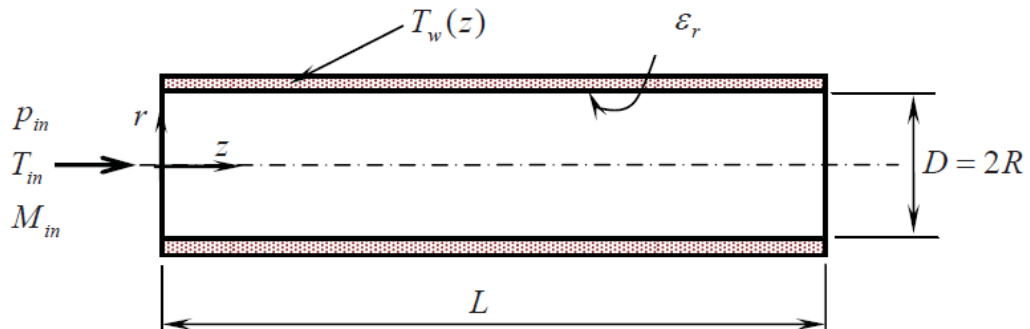


## 2. Estudios de verificación

Para verificar y asegurar el correcto funcionamiento del código se ha seguido la siguiente metodología:

### 1. Realización del algoritmo de resolución de un caso de sección constante.

En primera instancia se procedió a resolver el siguiente caso:



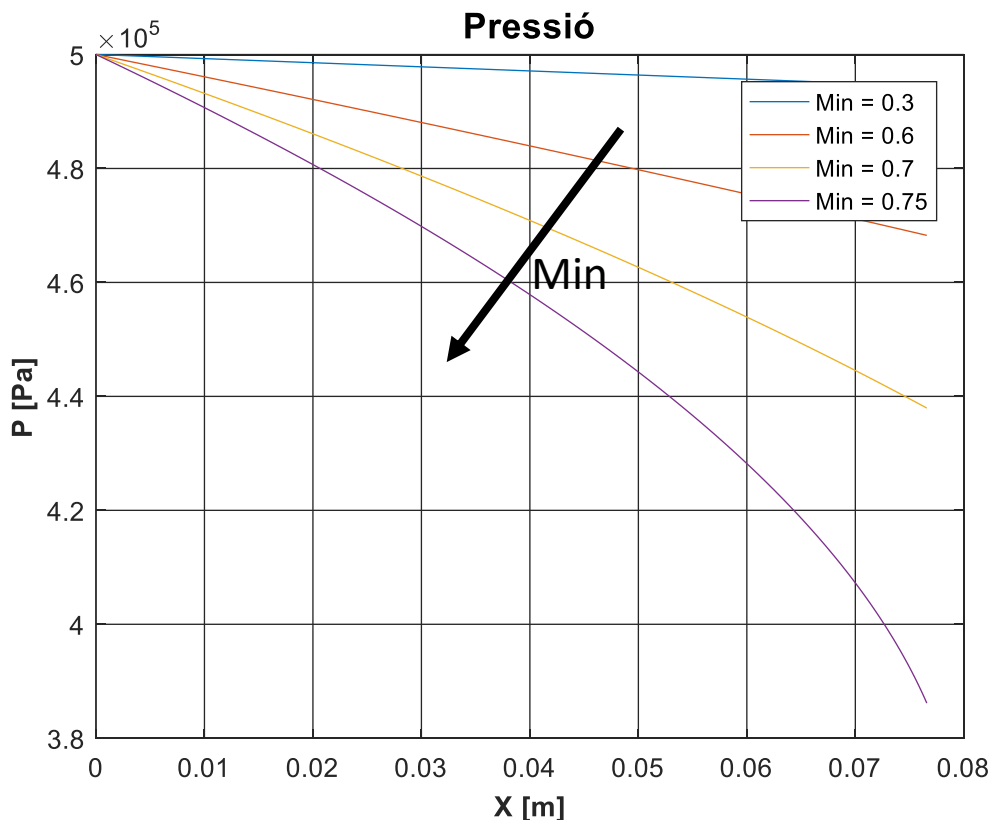
$D$	$\epsilon_r$	$p_{in}$	$T_{in}$	$T_w$	$\delta$	N	Gas
1 cm	0.004	5 bar	400 K	300 K	$10^{-10}$	555	Aire

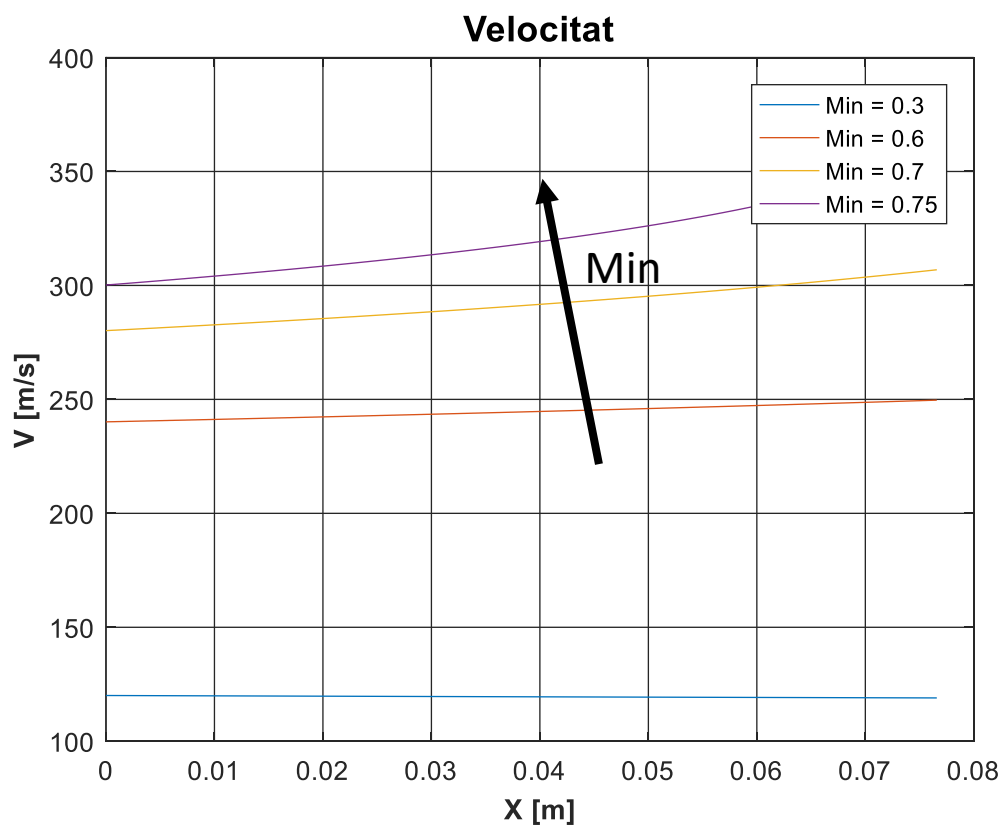
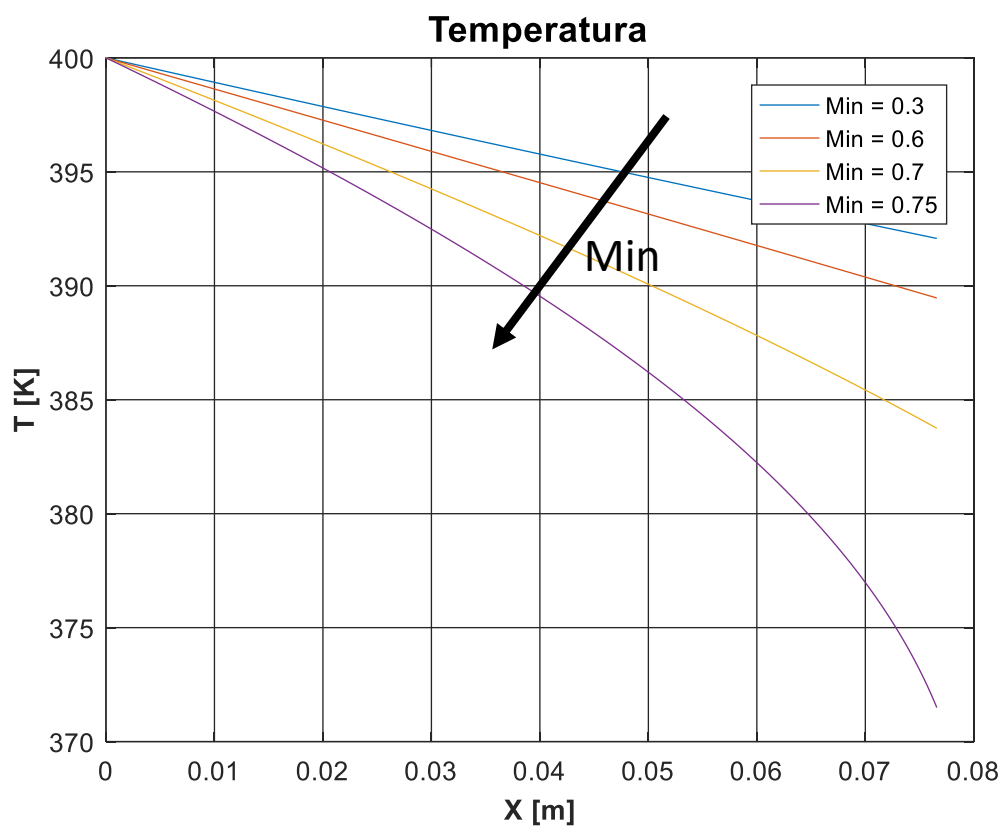
### 2. Verificación de balances globales y análisis de las soluciones obtenidas.

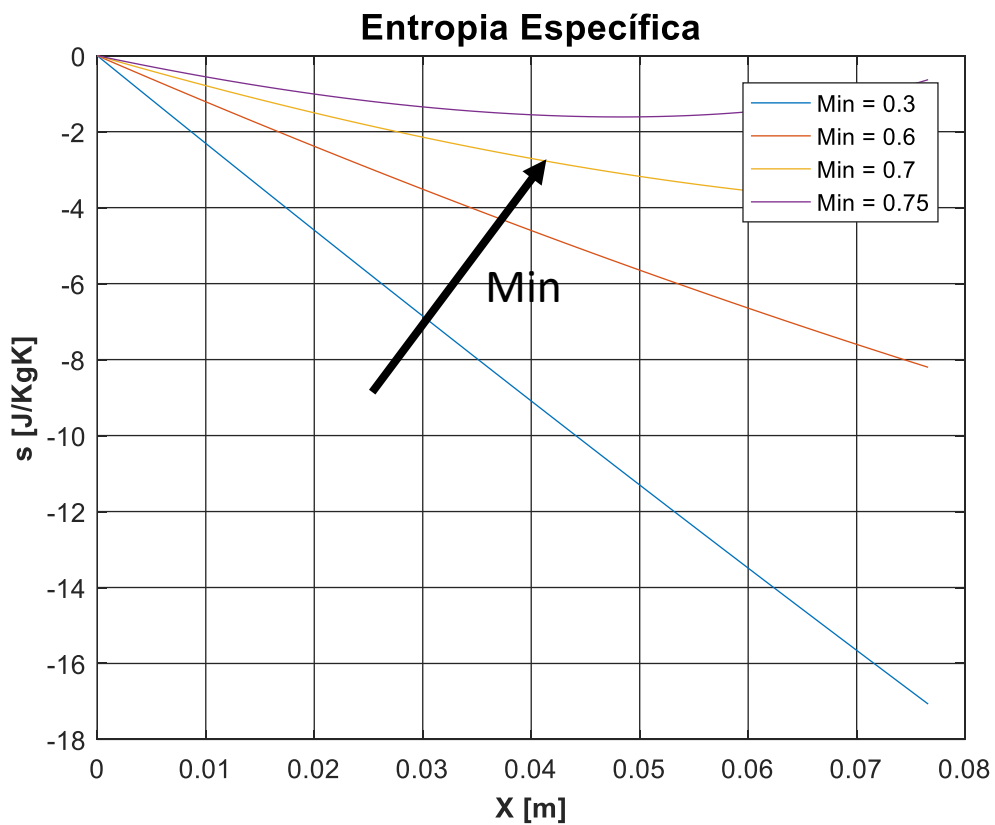
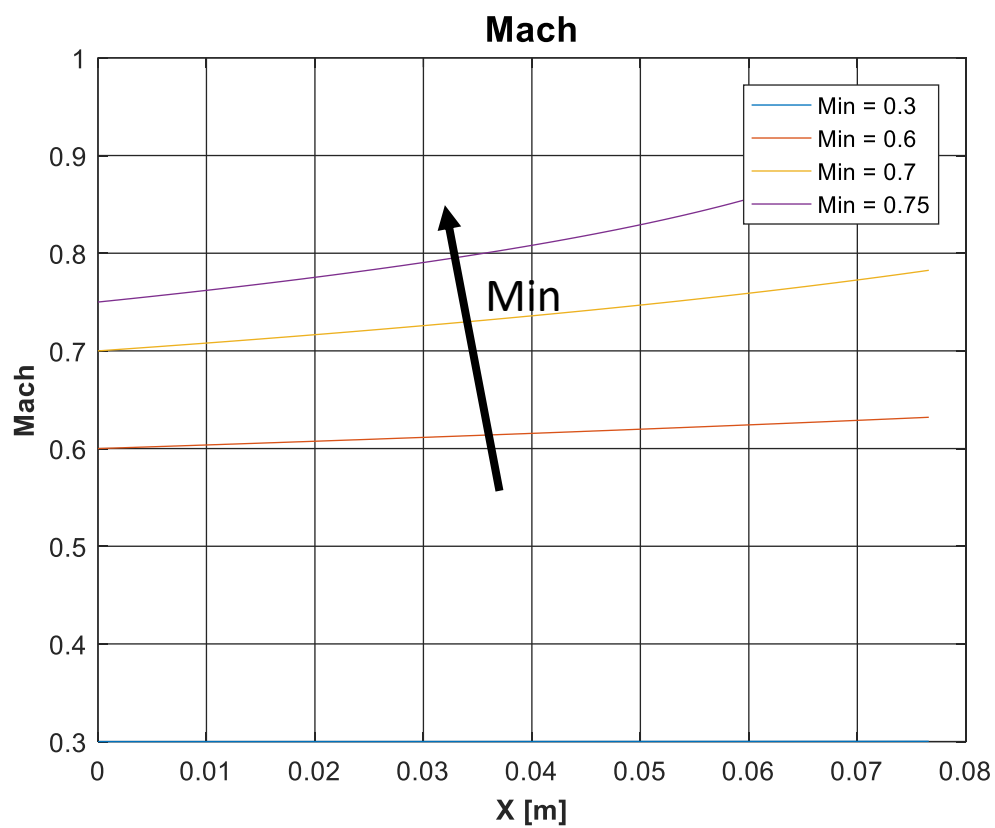
En cada iteración se ha verificado que las ecuaciones de conservación se cumplan. De esta forma, se ha conseguido reducir las probabilidades de error de manera considerable.

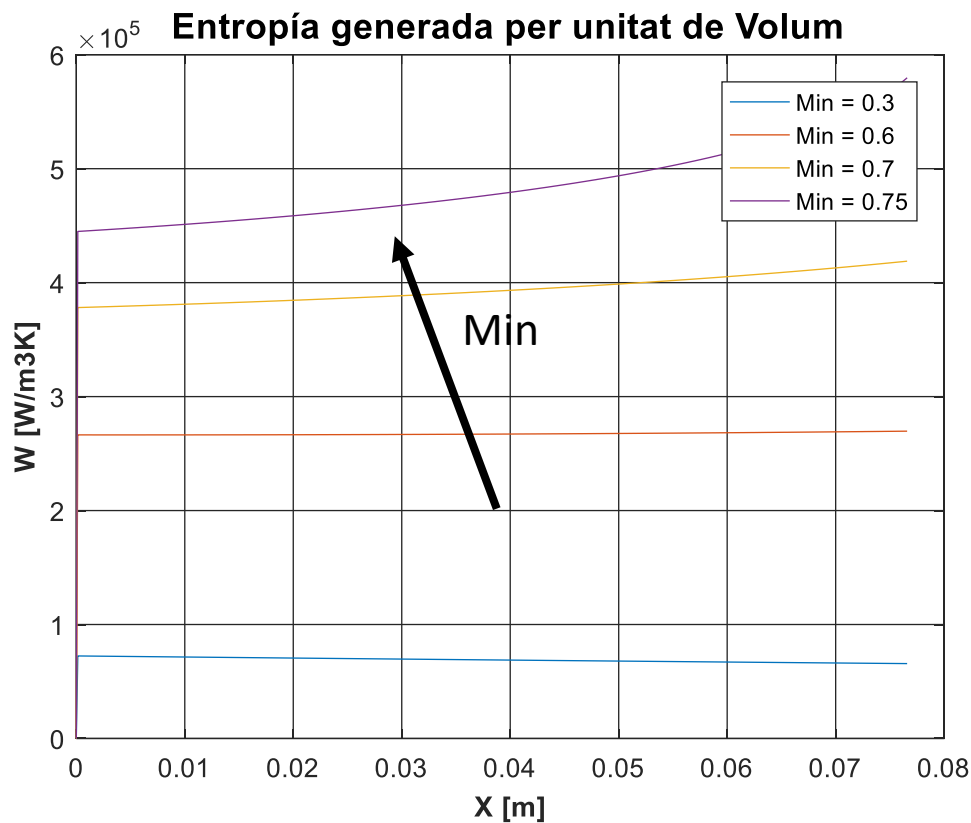
### 3. Comparación de resultados del caso del tubo de sección constante con los presentados en la asignatura “Dinámica de Gases”.

Los resultados obtenidos para una  $L=7.659$  cm son:









Estos resultados, aparte de ser lógicos y esperados, se pueden comparar al caso mostrado en “*Problemes de flux compressible*”<sup>2</sup> y son casi calcados. Aparecen diferencias muy pequeñas debido a que ahí llega hasta  $M=0.8$  mientras que en el presente estudio se ha llegado hasta  $M=0.75$ .

#### 4. Modificación del algoritmo para adaptarlo al caso de tubo de sección variable (tobera).

Una vez resuelto el caso de tubo de sección constante simplemente hay que adaptar el problema, modificando ligeramente la ecuación de *momentum*, añadiendo nuevos términos que aparecen debido a la variación de la sección a lo largo.

Además, se añade la posibilidad de la aparición de ondas de choque mediante el estudio de la entropía generada.

#### 5. Verificación de balances globales y análisis de las soluciones obtenidas.

Se repite el paso 2 para las nuevas ecuaciones.

#### 6. Comparación de resultados del caso de tobera con los presentados en la asignatura “*Dinámica de Gases*”.

Nuevamente, se realizaron las comparativas de los resultados con el caso presentado en “*Problemes de flux compressible*” y nuevamente los resultados coinciden, prueba de la validez del algoritmo presentado. Sin embargo, estos se presentan más adelante, concretamente en el apartado 4.

<sup>2</sup> C.D. Pérez-Segarra, J Castro, A. Oliva. Abril 2011



### 3. Resultados del estudio numérico

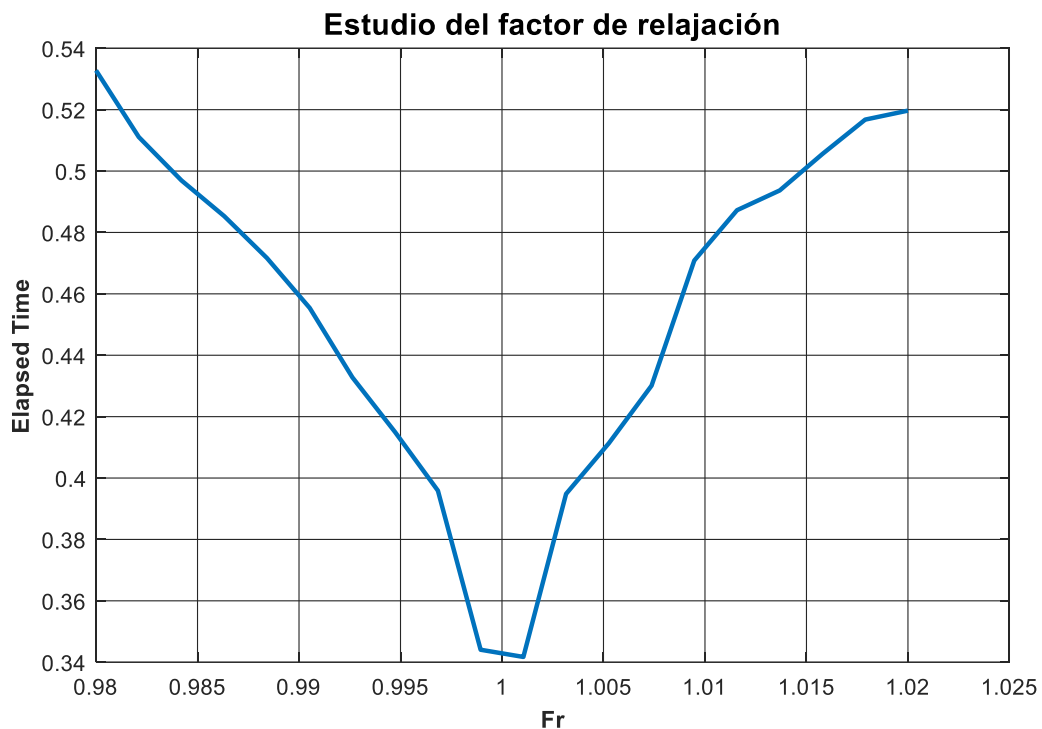
#### 3.1. Estudio de convergencia

Para ver cuántos puntos de estudio son necesarios, se hace un estudio de convergencia, tomando como solución exacta, la presentada en "*Problemes de flux compressible*". Se ha tomado como criterio de decisión, el error cometido en los cálculos a la salida de la tobera. De esa manera se va probando el algoritmo hasta incurrir en un error aceptable con el mínimo número de volúmenes de control con el fin de mejorar la velocidad.

Sin embargo, finalmente se ha procedido de forma diferente debido a que al variar el número de volúmenes de control, el código no convergía. Finalmente se ha tomado una  $N=555$ .

#### 3.2. Factores de relajación

Se hizo un análisis del problema añadiendo un factor de relajación para ver si este aporta una velocidad de convergencia mayor. En el siguiente gráfico se muestra que no es eficiente usarlo pues el mejor de los casos es cuando vale 1, es decir, como si no estuviera.



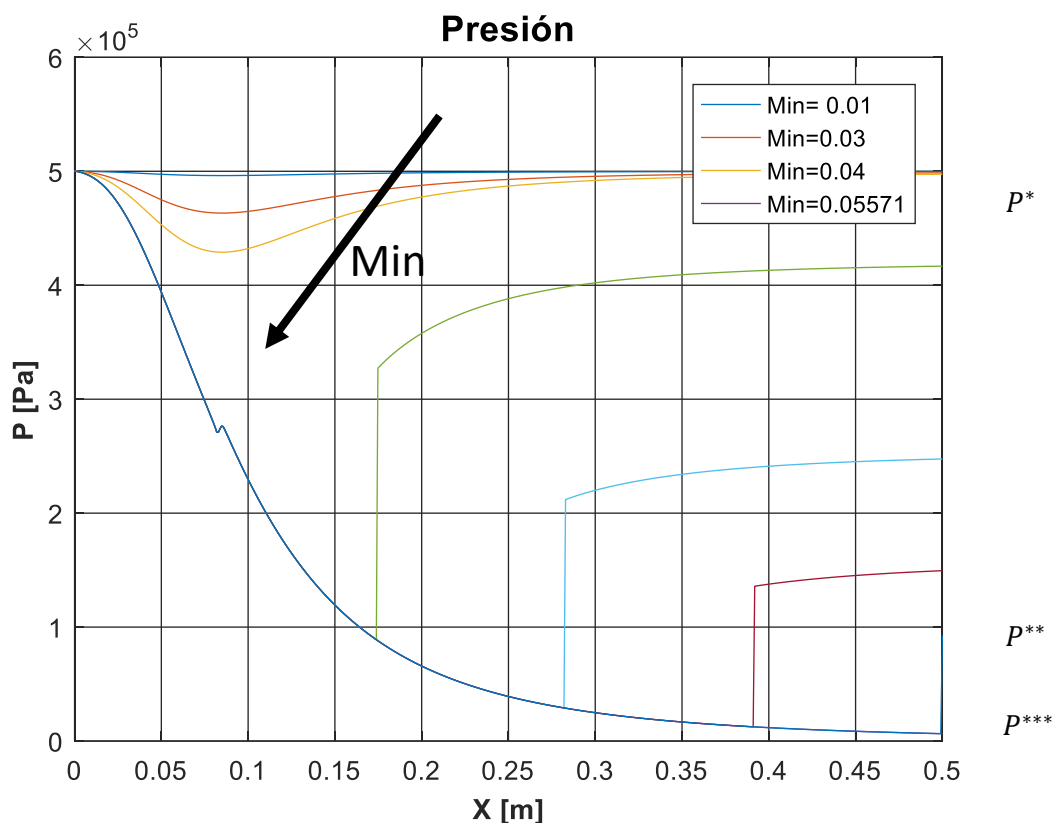
## 4. Resultados del estudio físico

### 4.1. Análisis de los resultados obtenidos

Los resultados presentados en este apartado se han calculado con los siguientes parámetros:

$L$	$\varepsilon_r$	$p_{in}$	$T_{in}$	$T_w$	$N$	$\delta$	Gas
0.5 m	0.0001	5 bar	600 K	300 K	555	$10^{-10}$	Aire

Para todas las curvas, se han pintado 3 ondas de choque cualquiera. Realmente, sólo se producirá la que corresponda a la presión ambiente correspondiente.



En la anterior figura se representa la presión para diferentes Mach de entrada. Para el caso de flujo crítico ( $M=1$  en la garganta) se obtiene la presión de diseño  $P^{***} = 6428 \text{ Pa}$ , la última antes de que se produzcan ondas de choque, obtenida mediante el criterio de Summerfield,  $P^{**} = 16070 \text{ Pa}$  y, la última para flujo crítico  $P^* = 4.9 \cdot 10^5 \text{ Pa}$ .

Así pues, con la presión del ambiente, se puede ver el funcionamiento de esta tobera.

- Si  $P_a < P^{***}$  se tiene tobera sub-expansionada y no se aprovecha al máximo. Es similar al caso de una tobera convergente en situación de flujo crítico ( $M=1$  en garganta).
- Si  $P_a = P^{***}$  se tiene tobera adaptada. Aquí es donde más empuje produce esta.
- Si  $P^{***} < P_a < P^{**}$  se tiene tobera sobre-expansionada pero sin ondas de choque. Estas ondas se intentan evitar pues provocan pérdidas por efectos de compresibilidad. Un

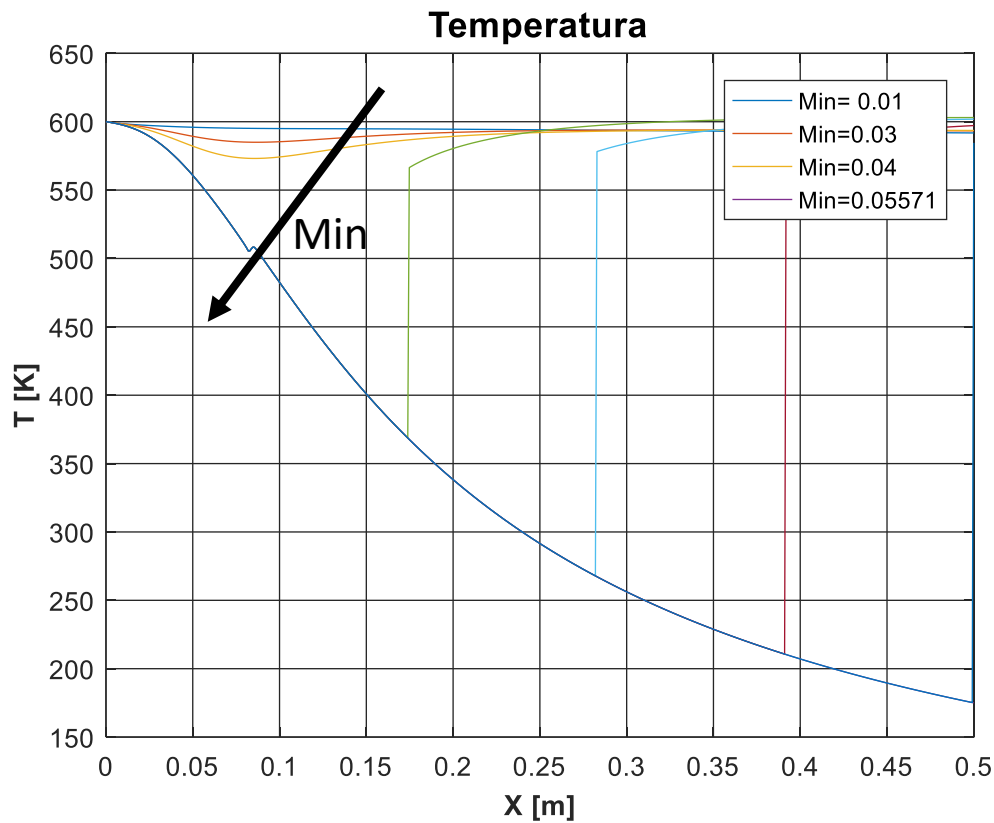
motor de cohete por ejemplo, siempre intenta evitar que se produzcan ya que entonces el *Thrust* baja considerablemente.

- Si  $P^{**} < P_a < P^*$  se tiene tobera sobre-expansionada y se producen ondas de choque.
- Si  $P_a > P^*$  se tiene flujo subsónico después de la garganta.

Mediante el modelo ISA, se puede relacionar la altura con la presión de la siguiente<sup>3</sup> manera:

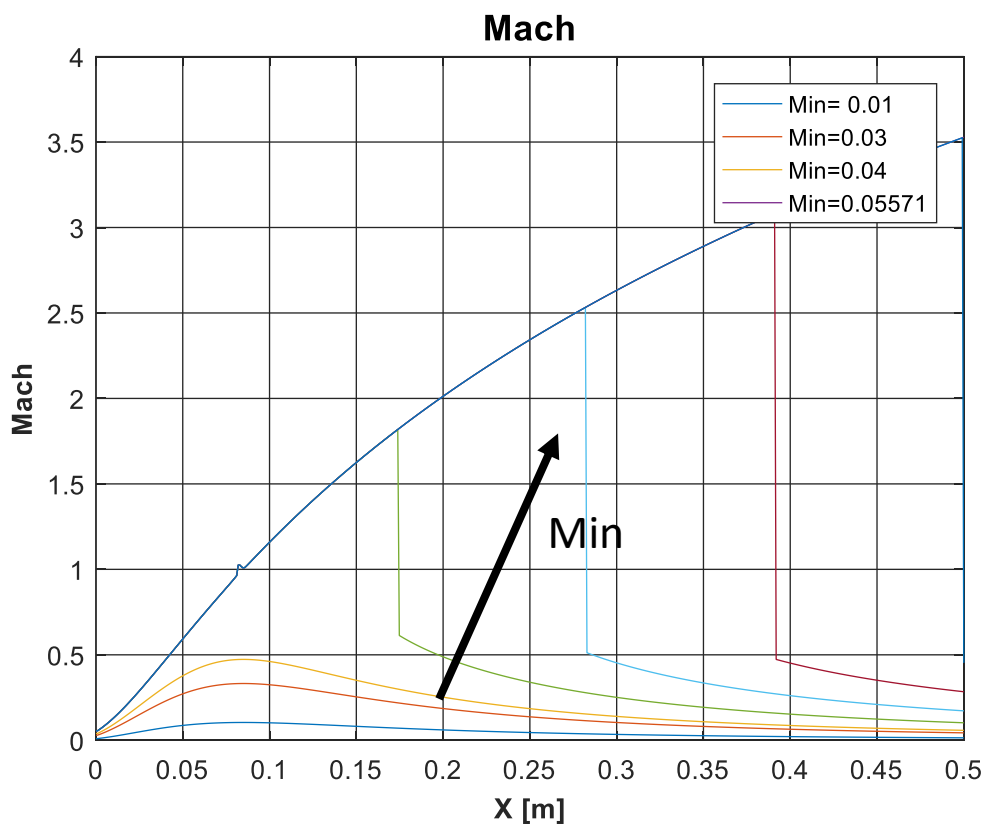
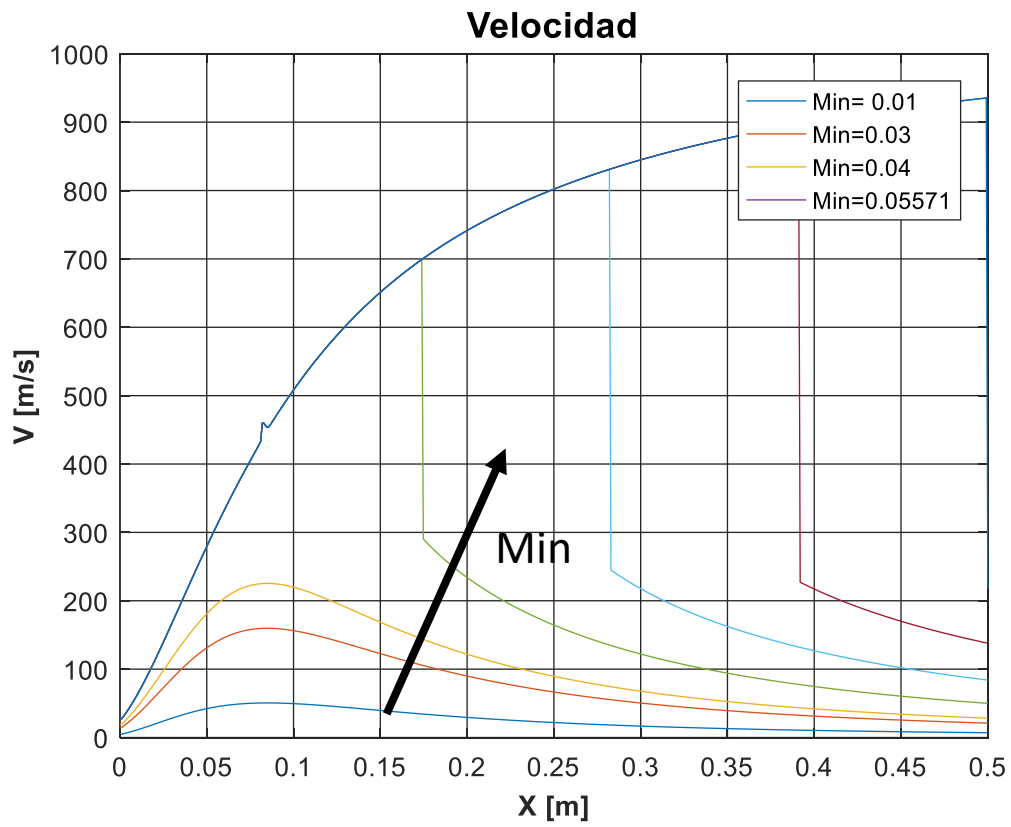
$$P = P_{11} \cdot e^{-\frac{g}{RT}(h-h_{11})}$$

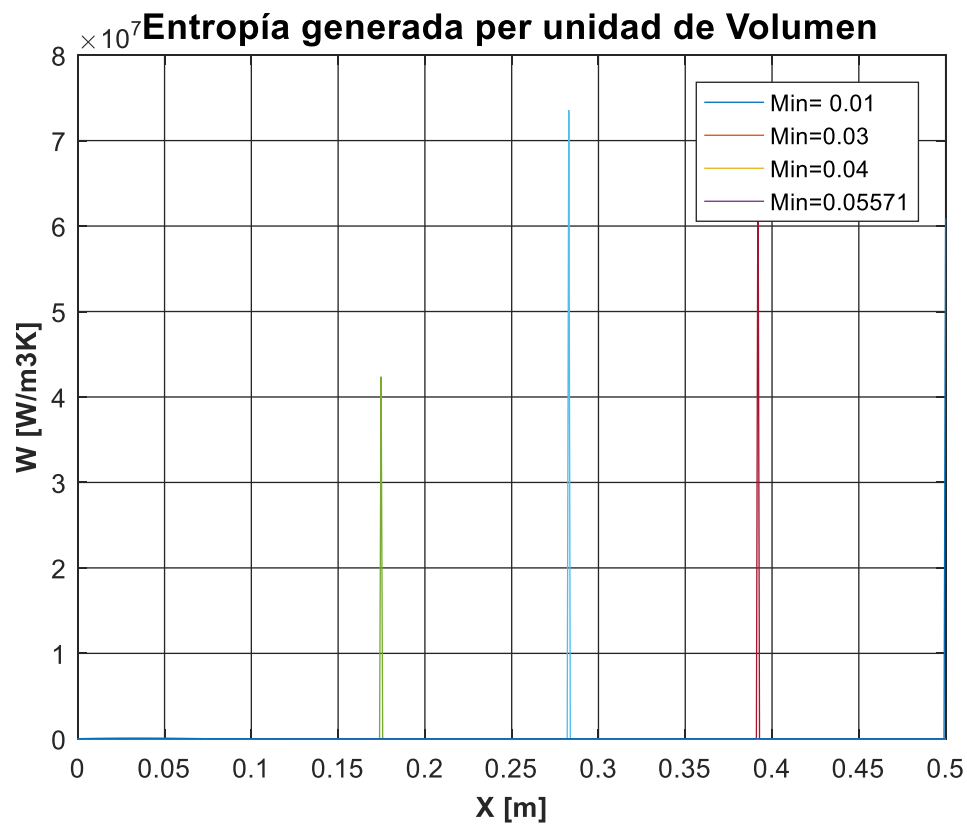
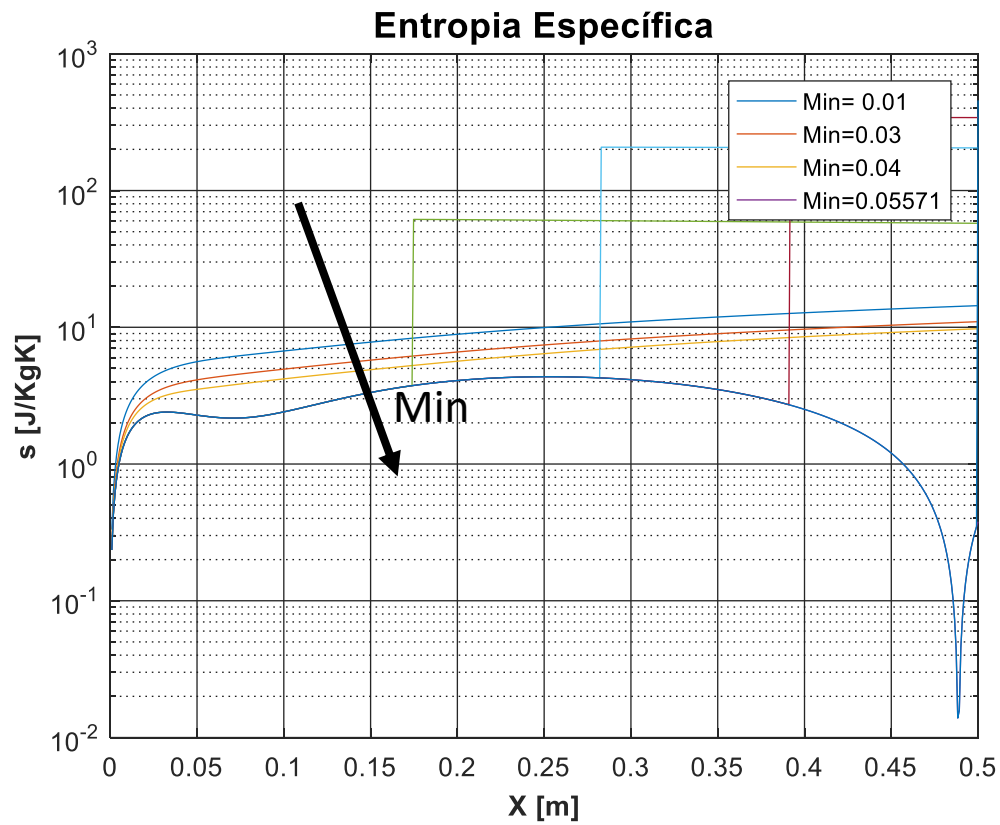
Así pues, se obtiene que la tobera está adaptada a **18 km** de altura y a partir de los **13 km** ya no se producen ondas de choque.



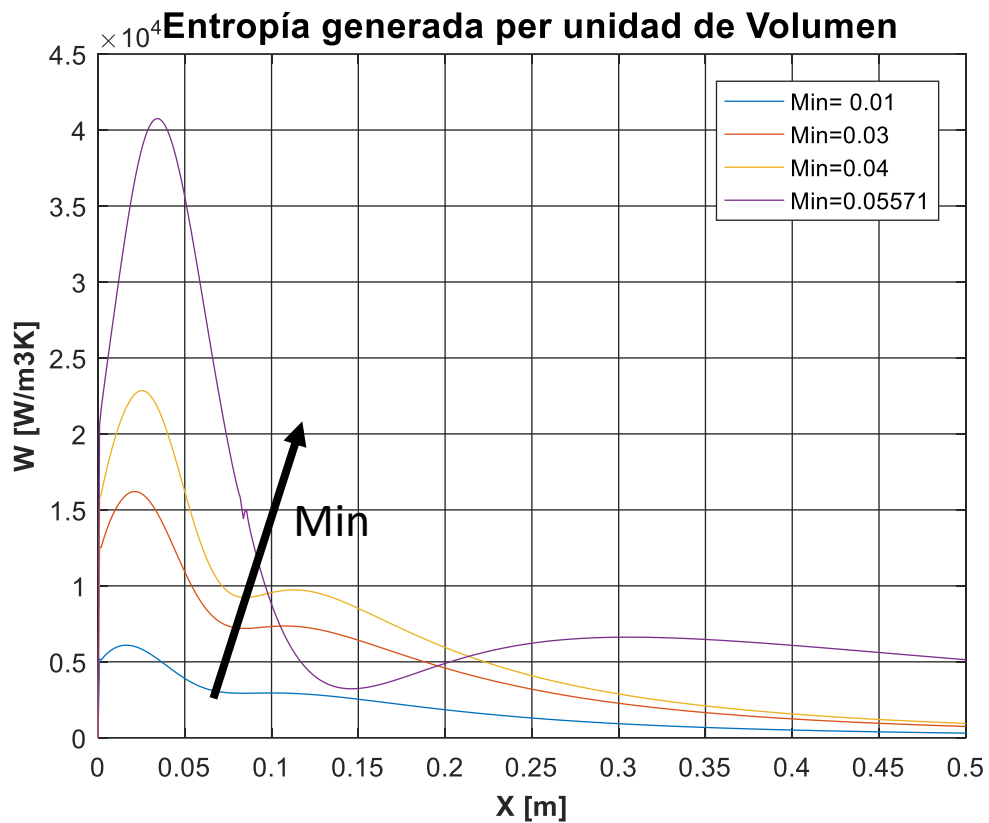
Obsérvese la violenta subida de Temperatura que se produce en la onda de choque.

<sup>3</sup> Válido a partir de los 11km de altura.

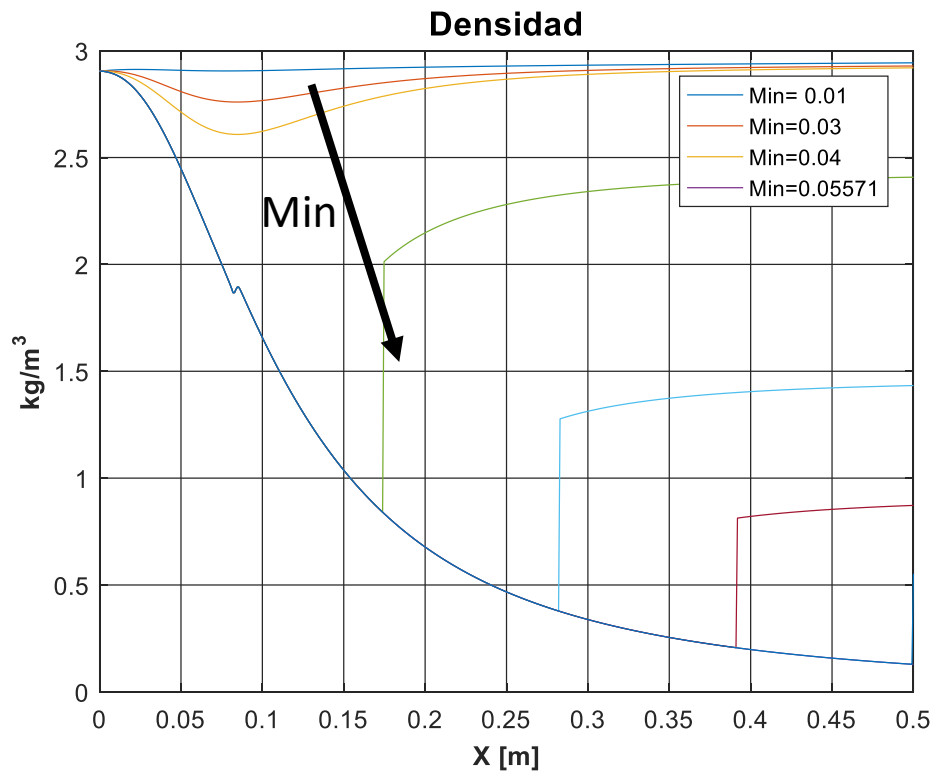




Y la entropía generada sin ondas de choque es:



De las dos últimas gráficas se vuelve a poner de manifiesto el gran salto de entropía generada que causa una onda de choque.



Todos estos resultados se comparan de nuevo con los resultados de “*Problemes de flux compressible*” para el mismo problema y las soluciones coinciden. Así pues, queda validado el código y el algoritmo de resolución.

Para finalizar con el apartado, cabe mencionar que por algún motivo, el código no responde adecuadamente para el caso de  $M = 1$  en garganta. Por ello, cuando a lo largo de la tobera las velocidades se acercan a  $M=1$ , se ha optado por saltar de  $M=0.99$  a  $M=1.01$ . De esta manera, el algoritmo puede continuar sin problemas. Este es el motivo por el cual aparecen las pequeñas perturbaciones en las curvas que se observan para el caso de la tobera crítica.

#### 4.2. Influencia del material

Debido a que no se considera la conducción, la variación material no afecta en ningún aspecto el análisis efectuado. Ahora sí, evidentemente, este tendrá que poder soportar las elevadas temperaturas a las que se puede ver sometido (del orden de  $400^{\circ}\text{C}$ ). Para ello, muchas veces el empleo de refrigeración es inevitable pues la temperatura de fusión llega a ser inferior a las temperaturas a las que alcanza el flujo.

## 5. Anexo

### 5.1 Código utilizado

#### Completem

```
clc;
clear
tic
```

Entrada de datos.

```
ra=0;
d=10^-6;
%%Gas : aire
cp=@(T) 1022-0.1626*T+3.5025*10^-4*T^2;
lambda=@(T) 3.807*10^-3+7.4*10^-5*T;
nu=@(T) (2.53928*10^-5*sqrt(T/273.15))/(1+(122/T));

%%Caso de tobera convergente-divergente
er=0.0001;
L=0.5;
N=555;
dz=L/N;
conv_div=1;
for i=1:(N+1)
    Rs(i)=1/(100*i*dz+1.5)+i*dz+0.015;
    D(i)=0.01;
    S(i)=pi*Rs(i)^2;
end
[MIN, Nmin]=min(Rs(:));
for i=1:(N)
    theta(i)=atan((Rs(i+1)-Rs(i))/dz);
    A1(i)=2*pi*Rs(i)*dz/cos(theta(i));
end
theta(N+1)=atan((Rs(N+1)-Rs(N))/dz);
A1(N+1)=2*pi*Rs(N+1)*dz/cos(theta(N+1));

Pin=5*100000;
Tin=600;
R=287;
gamma=(cp(Tin))/(cp(Tin)-R);
Tw=300; %in K and cte
```

Obtención de Datos a diferentes M de entrada

```
for Min=[0.01 0.03 0.04 0.05571];
    vin=Min*sqrt((gamma*R*Tin));
    ra=ra+1;
    % Caso de tobera no-crítica (obtenido por pruebas)
    % onda de choque se ve a producir despues del tubo
    % (no hay onda de choque)
    choq=N+5;
    %%Se llama al programa que realiza todos los calculos
    compresible;
```



```

% Se guardan los resultados
Pnc(ra,:)=P;      Tnc(ra,:)=T;      Vnc(ra,:)=V;      Mnc(ra,:)=M;
entrnc(ra,:)=entr;      Sgennc(ra,:)=Sgen;
% Caso de tobera crítica
Min==0.05571
%puntos donde se va a calcular la onda de choque
%(Nmin=garganta)
rw=1;
w=round(linspace(Nmin+100,N,4));
for choq=w
%%Se llama al código que realiza todos los cálculos para cada onda de
%%choque
compresible;
Pc(rw,:)=P;      Tc(rw,:)=T;      Vc(rw,:)=V;      Mc(rw,:)=M;
entrnc(rw,:)=entr;      Sgenc(rw,:)=Sgen;
rw=rw+1;
end
end
DataFINAL
struct('Pnc',Pnc,'Pc',Pc,'Tnc',Tnc,'Tc',Tc,'Vnc',Vnc,'Vc',Vc,'Mnc',Mnc,'Mc',Mc,'entrnc',entrnc,'entrnc',entrnc,'Sgennc',Sgennc,'Sgenc',Sgenc);

```

## Tratamiento de Datos

```

graficas(DataFINAL,L,N);
toc

```

Elapsed time is 2.807843 seconds.

## Compresible.m

### Matrices de datos (caso 1D)

```

P=zeros(1,N+1);      T=zeros(1,N+1);      V=zeros(1,N+1);      ro=zeros(1,N+1);
M=zeros(1,N+1);      Sgen=zeros(1,N+1);      entr=zeros(1,N+1);
%variable que se activa una vez se produce el salto de M
salt=false;
%variable que se activa una vez llegamos al punto donde aparecería onda de
%choque
xoc=false;

```

### Caso inicial

```

P(1)=Pin;      T(1)=Tin;      V(1)=Vin;
ro(1)=P(1)/(R*T(1));
mins=ro(1)*V(1)*S(1);
M(1)=Min; Sgen(1)=0; entr(1)=0;

```

### Comienzan las iteraciones

```

for i=1:(N);
if i>=choq
xoc=true;
end
% Alteración de los valores para que nunca estemos en M=1.

```

```

        if M(i)>=0.97 && salt==false
            Vch=V(i);
            Pch=P(i);
            Tch=T(i);
            roch=ro(i);
            Mch=M(i);
            V(i)=V(i)*1.05;
            P(i)=P(i)*0.99999;
            T(i)=T(i)*0.99999;
            ro(i)=P(i)/(R*T(i));
            mins=ro(i)*V(i)*S(i);
            M(i)=V(i)/(sqrt((gamma*R*T(i))));
            salt=true;
            entra=true;
        end

%valores a la salida supuestos
P(i+1)=P(i);
T(i+1)=T(i);
V(i+1)=V(i);
ro(i+1)=ro(i);
% Variable que se activa cuando el VC converge
bien=false;
while bien==false %Propiedades supuestas
    medias
        ro_m=(ro(i+1)+ro(i))/2;
        V_m=(V(i+1)+V(i))/2;
        T_m=(T(i+1)+T(i))/2;
        P_m=ro_m*R*T_m;
        Re=ro_m*V_m*D(i)*2/nu(T_m);

```

T\*

```

%PARA GASES
if Re>2000
    Data=Tref(1,d,T_m,P_m,V_m,Tw,D(i),L,R,S(i));
else
    Data=Tref(2,d,T_m,P_m,V_m,Tw,D(i),L,R,S(i));
end

%Propiedades a T_ref
Cpi=Data.cp; lambdai=Data.lambda; nui=Data.nu; alphi=Data.a;
r=Data.r; T_r=Data.T_r;
%Se calcula "f" a partir del Re calculado (Data.Re<2000)
if
    f=16/Data.Re;
elseif (Data.Re>5*10^3 && Data.Re<3*10^4 && er<=0.0001)
    f=0.079*Data.Re^-0.25;
elseif (Data.Re>5*10^3 && Data.Re<3*10^4 && er>0.003 && er<0.005)
    f=0.096*Data.Re^-0.25;
elseif (Data.Re>3*10^4 && Data.Re<3*10^6 && er<=0.0001)
    f=0.046*Data.Re^-0.2;
elseif (Data.Re>3*10^4 && Data.Re<3*10^6 && er>0.003 && er<0.005)
    f=0.078*Data.Re^-0.2;
end

%Churchill General Expression
% AS=(2.457*log(1/((7/Re)^0.9+0.27*er)))^16;
% BS=(37530/Re)^16;
% f=2*((8/Re)^12+1/(AS+BS)^(3/2))^1/12;

```

## Cálculo de coeficientes que resuelven ecuaciones N-S

```

A1_m=(A1(i+1)+A1(i))/2;
Av=mins+f*ro_m*abs(V_m)/4*A1_m*cos(theta(i));
Bv=(S(i)+A1_m/2*sin(theta(i)));
Cv=(S(i)+A1_m/2*sin(theta(i)))*P(i)+(mins-
f*ro_m*abs(V_m)/4*A1_m*cos(theta(i)))*V(i);

At=mins*cp(T_m)+alpha_i*A1(i)/2;
Bt=mins/2+r*alpha_i*A1(i)/(4*Data.cptref);
Ct=(mins*cp(T_m)-alpha_i*A1(i)/2)*T(i)+(mins/2-
r*alpha_i*A1(i)/(4*Data.cptref))*V(i)^2+alpha_i*Tw*A1(i);

A=Av*At*S(i)-Bv*Bt*mins*R;
B=Cv*At*S(i);
C=Bv*Ct*mins*R;

dis=B^2-4*A*C;

```

## Únicamente se prosigue si discriminante es positivo

```

if dis>0
    %Se obtienen 2 soluciones.
    %Revisión de las soluciones mediante entropia generada

    positiva=1;% para raíz positiva
    DataFinal_a =
    checkSgen(dis,A,B,C,Av,Bv,Cv,At,Bt,Ct,positiva,T(i),P(i),mins,Data,dz,A1(i),S(i),Tw,V(i)
    ,f,Data.ro);
    Sgena=DataFinal_a.sgen;

    positiva=0;% para raíz negativa
    DataFinal_b =
    checkSgen(dis,A,B,C,Av,Bv,Cv,At,Bt,Ct,positiva,T(i),P(i),mins,Data,dz,A1(i),S(i),Tw,V(i)
    ,f,Data.ro);
    Sgenb=DataFinal_b.sgen;

    if Sgena>=0 && Sgenb<0
        V_i=DataFinal_a.v;
        P_i=DataFinal_a.p;
        T_i=DataFinal_a.T;
        ro_i=DataFinal_a.ro;
        % Se revisa convergencia
        if abs(P_i-P(i+1))<d && abs(T_i-T(i+1))<d && abs(V_i-V(i+1))<d
            bien=true;
        end
        % Calculo de los valores a la salida del VC
        V(i+1)=V_i;
        P(i+1)=P_i;
        T(i+1)=T_i;
        ro(i+1)=ro_i;
        Sgen(i+1)=Sgena;
        entr(i+1)=entr(i)+DataFinal_a.S;
        gamma=(cp(T(i+1))/R)/(cp(T(i+1))/R-1);
        M(i+1)=V(i+1)/(sqrt((gamma*R*T(i+1))));

    elseif Sgena<0 && Sgenb>=0

```

```

V_i=DataFinal_b.v;
P_i=DataFinal_b.p;
T_i=DataFinal_b.T;
ro_i=DataFinal_b.ro;
    if abs(P_i-P(i+1))<d && abs(T_i-T(i+1))<d && abs(V_i-V(i+1))<d
        bien=true;
    end
V(i+1)=V_i;
P(i+1)=P_i;
T(i+1)=T_i;
ro(i+1)=ro_i;
Sgen(i+1)=Sgenb;
entr(i+1)=entr(i)+DataFinal_b.S;
gamma=(cp(T(i+1))/R)/(cp(T(i+1))/R-1);
M(i+1)=V(i+1)/(sqrt((gamma*R*T(i+1)))));
else
    % En caso de flujo crítico, se obtienen dos soluciones
    %                                     positivas

a=abs(DataFinal_a.v-V(i));%                               Salto
b=abs(DataFinal_b.v-V(i));
    if a<b
        % Se escoge el caso sin salto
        if
            V_i=DataFinal_a.v;
            P_i=DataFinal_a.p;
            T_i=DataFinal_a.T;
            ro_i=DataFinal_a.ro;
            if abs(P_i-P(i+1))<d && abs(T_i-T(i+1))<d && abs(V_i-V(i+1))<d
                bien=true;
            end
            V(i+1)=V_i;
            P(i+1)=P_i;
            T(i+1)=T_i;
            ro(i+1)=ro_i;
            Sgen(i+1)=Sgena;
            entr(i+1)=entr(i)+DataFinal_a.S;
            gamma=(cp(T(i+1))/R)/(cp(T(i+1))/R-1);
            M(i+1)=V(i+1)/(sqrt((gamma*R*T(i+1)))));
        else
            % Se escoge el caso que genera salto (onda de
            %                                     choque)
            V_i=DataFinal_b.v;
            P_i=DataFinal_b.p;
            T_i=DataFinal_b.T;
            ro_i=DataFinal_b.ro;
            if abs(P_i-P(i+1))<d && abs(T_i-T(i+1))<d && abs(V_i-V(i+1))<d
                bien=true;
            end
            V(i+1)=V_i;
            P(i+1)=P_i;
            T(i+1)=T_i;
            ro(i+1)=ro_i;
            Sgen(i+1)=Sgenb;
            entr(i+1)=entr(i)+DataFinal_b.S;
            gamma=(cp(T(i+1))/R)/(cp(T(i+1))/R-1);
            M(i+1)=V(i+1)/(sqrt((gamma*R*T(i+1)))));
        end
    end
end

```

```

else
    if i ~=choq
        V_i=DataFinal_b.v;
        P_i=DataFinal_b.p;
        T_i=DataFinal_b.T;
        ro_i=DataFinal_b.ro;
        if abs(P_i-P(i+1))<d && abs(T_i-T(i+1))<d && abs(V_i-V(i+1))<d
            bien=true;
            end
            V(i+1)=V_i;
            P(i+1)=P_i;
            T(i+1)=T_i;
            ro(i+1)=ro_i;
            Sgen(i+1)=Sgenb;
            entr(i+1)=entr(i)+DataFinal_b.S;
            gamma=(cp(T(i+1))/R)/(cp(T(i+1))/R-1);
            M(i+1)=V(i+1)/(sqrt((gamma*R*T(i+1))));
        else
            V_i=DataFinal_a.v;
            P_i=DataFinal_a.p;
            T_i=DataFinal_a.T;
            ro_i=DataFinal_a.ro;
            if abs(P_i-P(i+1))<d && abs(T_i-T(i+1))<d && abs(V_i-V(i+1))<d
                bien=true;
                end
                V(i+1)=V_i;
                P(i+1)=P_i;
                T(i+1)=T_i;
                ro(i+1)=ro_i;
                Sgen(i+1)=Sgena;
                entr(i+1)=entr(i)+DataFinal_a.S;
                gamma=(cp(T(i+1))/R)/(cp(T(i+1))/R-1);
                M(i+1)=V(i+1)/(sqrt((gamma*R*T(i+1))));
            end
        end
    end
end
display('Disnegatiu. Error');
break;
end
end
end

```

## Tref.m

Proceso iterativo para el cálculo de Tref

```

function Datos = Tref(caso,d,T_m,P_m,V_m,Tw,D,L,R,S)
T_reff=T_m;
T_rn=T_m+1;
listo=false;
while listo==false;
    cp=(1022-0.1626*T_reff+(3.5025*10^-4)*T_reff^2);
    nu=(2.53928*10^-5*sqrt(T_reff/273.15))/(1+(122/T_reff));
    lambda=(3.807*10^-3+7.4*10^-5*T_reff);
    Pr=(cp*nu/lambda);
    %Según turbulento(1) o laminar (2)
    if caso==1
        r=Pr^(1/3);
    end
end

```

```

else
    r=Pr^(1/2);
end
cptref=1/(T_rn-T_m)*(1022*(T_rn-T_m)-0.1626/2*(T_rn^2-T_m^2)+((3.5025*10^-
4)/3)*(T_rn^3-T_m^3));
T_rn=T_m+r*(V_m)^2/(2*cptref);
T_ref=T_m+0.5*(Tw-T_m)+0.22*(T_rn-T_m);

%                               Revisamos                               convergencia
if                               abs(T_ref-T_reff)<d
    listo=true;
    T_reff=T_ref;
    T_r=T_rn;
else
    T_reff=T_ref;
    T_rn=T_rn;
end
end
ro_Tref=P_m/(R*T_reff);
Ref=ro_Tref*V_m*D/nu;
Gz=pi*D/(4*L)*Ref*Pr;
a=alpha(Ref,Gz,Pr,lambd,D);
%                               Tupla                               que                               devuelve                               la                               funcion
Datos = struct('cp',cp,'nu',nu,'lambda',lambda,'Pr',Pr,'r',r,'T_ref',T_reff,'T_r',
T_r,'Re',Ref,'Gz',Gz,'a',a,'ro',ro_Tref,'cptref',cptref);
end

```

## checkSgen.m

```

function                               DataFinal                               =                               checkSgen(
dis,A,B,C,Av,Bv,Cv,At,Bt,Ct,positiva,Tc,pc,min,Data,dz,A1,S,Tw,V,f,rop)
R=287;
cp=@(T)                               1022-0.1626*T+3.5025*10^-4*T^2;
if                                     positiva
    v=(B+sqrt(dis))/(2*A);
else
    v=(B-sqrt(dis))/(2*A);
end
p=(Cv-Av*v)/Bv;
T=(Ct-Bt*v*v)/At;
ro=p/(R*T);

%Check                               with                               conservation                               equations
%                               EC                               de                               la                               masa
ecm=min-ro*v*S;
%                               EC                               del                               momentum
eccm=min*(v-v)-pc*S+p*S+f*(ro+rop)/2*abs((v+v)/2)*((v+v)/2)/2*A1;
%                               EC                               de                               l'energia
ece=min*cp((T+Tc)/2)*(T-Tc)+min*(v^2/2-V^2/2)-Data.a*(Tw-
((T+Tc)/2+Data.r*((v+v)/2)^2)/(2*Data.cptref))*A1;

%Calculamos                               Entropia                               generada
Ds=1022*log(T/Tc)-0.1626*(T-Tc)+((3.5025*10^-4)/2)*(T^2-Tc^2)-R*log(p/pc);
Sgen=min*Ds/(S*dz)-Data.a*A1*(Tw-Data.T_r)/(S*dz*Tw);
DataFinal = struct('sgen',Sgen,'Ds',Ds,'v',v,'p',p,'T',T,'ro',ro,'S',Ds);
end

```

## alpha.m

```
function alpha_i = alpha(Re_Tref,Gz_Tref,Pr_Tref,lambdai,D)
    if Re_Tref<2000 && Gz_Tref>10
        C=1.86;
        m=1/3;
        n=1/3;
        K=(D/L)^(1/3)*(nu_i/nu(Tw))^(0.14);
    elseif Re_Tref<2000 && Gz_Tref<10
        C=3.66;
        m=0;
        n=0;
        K=1;
    elseif Re_Tref>2000
        C=0.023;
        m=0.8;
        n=0.4;
        K=1;
    end
    %Nusselt
    Nu=C*Re_Tref^m*Pr_Tref^n*K;
    %Coeficeinte de calor por convección
    alpha_i=Nu*lambdai/(D);
end
```

## graficas.m

```
function figure1 = graficas(DataFINAL,L,N)
figure1 = figure('color',[1 1 1]);
% legendInfo{raj} = ['Min' = ' num2str(Min)];
x=linspace(0,L,N+1);
subplot(3,2,1)
plot(x,DataFINAL.PnC,x,DataFINAL.PC);
grid on;
title('Pressió','FontWeight','bold','FontSize',14);
xlabel('X [m]','FontWeight','bold'); ylabel('P [Pa]','FontWeight','bold');

subplot(3,2,2)
plot(x,DataFINAL.TnC,x,DataFINAL.TC);
hold on;
grid on;
title('Temperatura','FontWeight','bold','FontSize',14);
xlabel('X [m]','FontWeight','bold'); ylabel('T [K]','FontWeight','bold');

subplot(3,2,3)
plot(x,DataFINAL.VnC,x,DataFINAL.VC);
hold on;
grid on;
title('Velocitat','FontWeight','bold','FontSize',14);
xlabel('X [m]','FontWeight','bold'); ylabel('V [m/s]','FontWeight','bold');

subplot(3,2,4)
plot(x,DataFINAL.MnC,x,DataFINAL.MC);
hold on;
```

```

grid on;
title('Mach','FontWeight','bold','FontSize',14);
xlabel('X [m]','FontWeight','bold'); ylabel('Mach','FontWeight','bold');

subplot(3,2,5)
semilogy(x,abs(DataFINAL.entrc),x,abs(DataFINAL.entrc));
hold on;
grid on;
title('Entropia Específica','FontWeight','bold','FontSize',14);
xlabel('X [m]','FontWeight','bold'); ylabel('s
[J/KgK]','FontWeight','bold');

subplot(3,2,6)
plot(x,DataFINAL.Sgennc,x,DataFINAL.Sgenc);
hold on;
grid on;
title('Entropía generada per unitat de
volum','FontWeight','bold','FontSize',14);
xlabel('X [m]','FontWeight','bold'); ylabel('w
[W/m3K]','FontWeight','bold');
end

```



## 5.2 Comportamiento Analítico Esperado y Criterio de Summerfield

